

硝酸羟胺用于钚纯化循环的工艺条件优化

张 虎,叶国安,周贤明,李 丽

中国原子能科学研究院 放射化学研究所,北京 102413

摘要:采用可控温的单级萃取装置,对羟胺还原反萃取钚的工艺条件进行了优化。实验表明,硝酸肼能够将少量Pu(IV)还原反萃取到水相,但是当硝酸肼浓度较高时,硝酸肼则表现出盐析效应,抑制钚的还原反萃取;对于钚还原反萃取工艺来说,当保持进料中羟胺与钚的摩尔数之比为定值时(在50℃时 $n(\text{HAN})/n(\text{Pu})=2\sim 3$ 较为适宜),增大还原剂流量能够提高钚的收率,但同时会降低钚的浓缩倍数;温度升高时,硝酸氧化Pu(III)的反应速率加快,使得钚在有机相中的浓度有所升高;当溶液中离子强度较高时,在盐析效应的作用下,Pu(III)的分配比随离子强度的提高而升高,导致钚在有机相中的浓度上升。

关键词:硝酸羟胺;钚;还原反萃取;Purex

中图分类号:TL241.14 **文献标志码:**A **文章编号:**0253-9950(2013)05-0279-05

doi:10.7538/hhx.2013.35.05.0279

Process Optimization of Plutonium Purification Cycle Based on Hydroxylamine Nitrate

ZHANG Hu, YE Guo-an, ZHOU Xian-ming, LI Li

China Institute of Atomic Energy, P. O. Box 275(26), Beijing 102413, China

Abstract: The process of Pu reductive stripping by hydroxylamine nitrate in plutonium purification cycle was optimized by the single extraction experiments. Hydrazine nitrate can reduce a small quantity of Pu(IV) and strip it from 30% TBP-kerosene into an aqueous phase, but can suppress the plutonium reductive stripping with increasing hydrazine nitrate concentration, where hydrazine nitrate plays a role as a salting-out agent. For the Pu purification cycle, the Pu recovery can be improved by enhancing the reductant flow when keep the HAN/Pu molar ratios invariable. 2-3 is feasible for the HAN/Pu molar ratios when the temperature is 50℃. Pu concentration in organic phase increases with raising the reaction temperature because reaction rate of HNO_3 with Pu(III) is accelerated, and also increases with increasing ionic strength because the distribution coefficient of Pu(III) is amplified due to the salting-out effect.

Key words: hydroxylamine nitrate; plutonium; reductive stripping; Purex

目前在动力堆乏燃料后处理厂中,通常采用硝酸羟胺(HAN)和硝酸肼(N_2H_5^+)作为还原剂和支持还原剂,用于钚纯化循环中钚的还原反萃取和浓缩净化^[1-4]。但是,由于硝酸羟胺与Pu(IV)的反应动力学速率较慢,需要同时控制硝酸羟胺浓度、酸度、温度、流比等多个工艺参数,才能达到钚产品要求的收率和净化指标。通常情况下,升高温度、降低酸度、提高羟胺浓度等条件有利于钚的还原反萃取。但是,温度过高(大于50℃)会加速萃取剂TBP的降解;酸度过低会降低钚中除铀的净化系数;羟胺浓度过高会产生盐析效应,降低钚产品的收率;过量使用硝酸羟胺最终还会增大放射性废液中硝酸根的含量,增加废液处理的难度。因此,需要通过优化工艺条件,使钚纯化循环的各项工艺参数处于适宜的范围内。本工作采用单级反萃取实验,考察不同工艺参数对硝酸羟胺还原反萃取钚的影响,提出合理的优化措施。

1 实验

1.1 试剂和仪器

硝酸羟胺、硝酸肼、浓硝酸、 NaNO_3 、磷酸三丁酯(TBP),分析纯,北京试剂公司产品;硝酸钚储备液:10.6 g/L Pu(IV)-1.16 mol/L HNO_3 ;含钚有机相溶液:取20 mL硝酸钚储备液,用5 mL 30% TBP-煤油萃取2 min,离心分相后分析有机相中钚质量浓度为16.1 g/L,硝酸浓度为0.19 mol/L,然后按照计算量准确移取一定体积有机相加入10 mL容量瓶,用含0.19 mol/L硝酸的30% TBP-煤油溶液定容。

可控温(恒温水浴)单级萃取装置,自制;LS-6000L型液体闪烁谱仪,美国Bechman公司。

1.2 实验装置及方法

采用可控温(恒温水浴)的单级萃取装置;在设定温度下,将水相溶液和有机相溶液分别置于恒温水浴槽中预热30 min,然后各取一定体积加入单级萃取装置的样品池中,开启搅拌装置并计时,间隔一定时间取样,采用 α 液闪法测量有机相中钚浓度。

2 结果与讨论

2.1 硝酸初始浓度的影响

当 $c(\text{Pu}^{4+})/c(\text{HAN}) < 1$ 时(HAN过量),羟胺与Pu(IV)的化学反应式^[5-6]为:

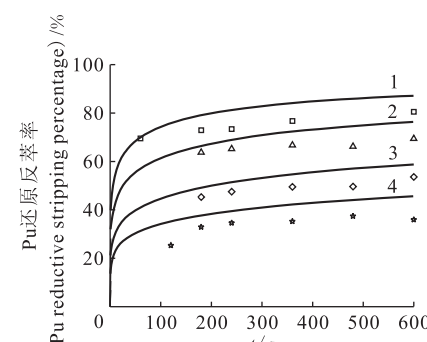


反应动力学速率方程式可表示为:

$$-\frac{dc(\text{Pu}^{4+})}{dt} = k_1 \frac{c^2(\text{Pu}^{4+})c^2(\text{NH}_3\text{OH}^+)}{c^2(\text{Pu}^{3+})c^4(\text{H}^+)(K_d + c(\text{NO}_3^-))^2} \quad (1)$$

30℃时 $k_1 = (0.029 \pm 0.008) \text{ mol}^5 \cdot \text{L}^{-5} \cdot \text{s}^{-1}$, $K_d = (0.33 \pm 0.15) \text{ mol/L}$, $E_a = 130.2 \text{ kJ/mol}$ 。由式(1)可知,硝酸浓度降低有利于加快羟胺还原Pu(IV)的反应速率。

在单级反萃取实验中,保持有机相中Pu(IV)和 HNO_3 的初始浓度分别为0.86 g/L和0.19 mol/L,水相中硝酸羟胺和硝酸肼的初始浓度分别为0.10 mol/L和0.20 mol/L,在相比(O/A)为4:1、温度为28℃、搅拌浆转速为(1800±20)r/min的条件下,改变水相 HNO_3 初始浓度分别为0.20、0.50、1.00、1.56 mol/L,考察硝酸初始浓度的变化对羟胺还原反萃取钚的影响,结果示于图1。图1表明,硝酸初始浓度对羟胺还原反萃取Pu(IV)的影响十分明显,当水相硝酸初始浓度为0.20 mol/L时,反萃10 min后钚的反萃率可达到80%,而当硝酸初始浓度为1.56 mol/L时,反萃10 min后的反萃率仅为35%。



$c_{a,0}(\text{HAN}) = 0.10 \text{ mol/L}$, $c_{a,0}(\text{N}_2\text{H}_5^+) = 0.20 \text{ mol/L}$,
 $c_{\text{org},0}(\text{HNO}_3) = 0.19 \text{ mol/L}$, $\rho_{\text{org},0}(\text{Pu(IV)}) = 0.86 \text{ g/L}$,
 $(1800 \pm 20) \text{ r/min}$, 相比(Phase ratio, O/A) 4:1, 28℃
 1——0.20,
 2——0.50,
 3——1.00,
 4——1.56

图1 硝酸初始浓度对钚还原反萃率的影响

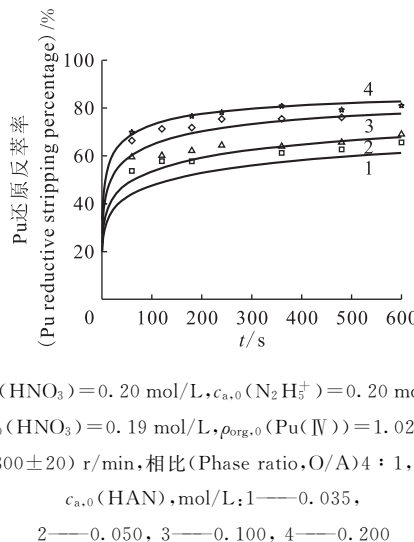
Fig. 1 Influence of acidity

on Pu reductive stripping percentage

2.2 硝酸羟胺初始浓度的影响

保持有机相中Pu(IV)和 HNO_3 的初始浓度分别为1.02 g/L和0.19 mol/L,水相中 HNO_3 和 N_2H_5^+ 的初始浓度均为0.20 mol/L,在相比

(O/A)为4:1、温度为28℃的条件下,改变水相HAN初始浓度分别为0.035、0.050、0.100、0.200 mol/L,考察羟胺初始浓度的变化对反萃取Pu(IV)的影响,结果示于图2。图2表明,随着羟胺初始浓度的增加,即n(HAN)/n(Pu)的摩尔比增大,钚的还原反萃率增大。当n(HAN)/n(Pu)=2.1时(曲线1),反萃取10 min后钚的反萃率约为66%,当n(HAN)/n(Pu)=12时(曲线4),反萃取10 min后钚的反萃率提高到80%。



$c_{a,0}(\text{HNO}_3) = 0.20 \text{ mol/L}$, $c_{a,0}(\text{N}_2\text{H}_5^+) = 0.20 \text{ mol/L}$,
 $c_{\text{org},0}(\text{HNO}_3) = 0.19 \text{ mol/L}$, $\rho_{\text{org},0}(\text{Pu(IV)}) = 1.02 \text{ g/L}$,
 $(1800 \pm 20) \text{ r/min}$, 相比(Phase ratio, O/A)4:1, 28℃
 $c_{a,0}(\text{HAN})$, mol/L: 1—0.035,
2—0.050, 3—0.100, 4—0.200

图2 羟胺初始浓度对钚还原反萃率的影响

Fig. 2 Influence of hydroxylamine initial concentration on Pu reductive stripping percentage

2.3 硝酸肼初始浓度和 NO_3^- 浓度的影响

保持有机相中Pu(IV)和 HNO_3 的初始浓度分

别为1.02 g/L和0.19 mol/L,水相中 HNO_3 和HAN的初始浓度分别为0.20 mol/L和0.10 mol/L,在相比(O/A)为4:1、温度为28℃、转速为(1800±20)r/min的条件下,改变水相硝酸肼的初始浓度分别为0.10、0.20、0.30、0.50 mol/L,考察硝酸肼初始浓度的变化对钚反萃取的影响,结果列于表1(左侧)。随着水相中硝酸肼初始浓度由0.10 mol/L升高到0.50 mol/L,反萃取10.0 min后钚的还原反萃率由75.7%逐渐降低到69.8%,说明在硝酸肼过量时,硝酸肼的影响主要表现为盐析效应。

保持有机相中Pu(IV)和 HNO_3 的初始浓度分别为1.02 g/L和0.19 mol/L,水相中 HNO_3 、硝酸羟胺和硝酸肼的初始浓度分别为0.20、0.10、0.20 mol/L,在相比(O/A)为4:1、温度为28℃、转速为(1800±20)r/min的条件下,改变水相 NaNO_3 的初始浓度分别为0.30、0.50、1.00 mol/L,考察 NO_3^- 浓度的变化对钚反萃取的影响,结果列于表1(右侧)。当水相中 NaNO_3 的浓度由0.30 mol/L升高到1.00 mol/L,反萃取10.0 min后钚的还原反萃率由61.8%下降到36.7%,表明由于盐析效应的存在,增大 NO_3^- 离子浓度降低了钚的反萃率。

当水相中离子强度相同时,对比表1中上角标注为b和c的两组数据:当水相硝酸初始浓度为0.20 mol/L、硝酸羟胺初始浓度为0.10 mol/L、硝酸肼初始浓度为0.50 mol/L时(此时水相中硝酸根离子的总浓度为0.80 mol/L),反萃取10.0 min后钚的反萃率为69.8%;当水相硝酸初始浓度为0.20 mol/L、硝酸羟胺初始浓度为0.10 mol/L、硝酸肼初始浓度为0.20 mol/L、 NaNO_3 初始浓

表1 钚的还原反萃率与反萃取时间的关系
Table 1 Time vs. Pu reductive stripping percentage

t/min	$c_{a,0}(\text{NaNO}_3)/(\text{mol} \cdot \text{L}^{-1})$	钚的还原反萃率(Pu reductive stripping percentage)/%							
		0.10	0.20	0.30	0.50	$c_{a,0}(\text{N}_2\text{H}_5\text{NO}_3)/(\text{mol} \cdot \text{L}^{-1})$	0.30	0.50	1.00
1.0	0	63.9	61.0	63.3	-	0.20	54.3 ^c	46.5	-
2.0		65.8	62.4	66.4	62.4 ^b		-	-	36.6
3.0		67.2	-	-	61.7 ^b		56.7 ^c	51.2	37.6
4.0		70.1	67.4	69.8	63.8 ^b		58.4 ^c	55.0	-
6.0		-	70.5	-	66.0 ^b		58.9 ^c	59.1	38.9
8.0		74.1	-	71.2	69.5 ^b		62.6 ^c	56.7	-
10.0		75.7	74.6	73.0	69.8 ^b		61.8 ^c	58.7	36.7

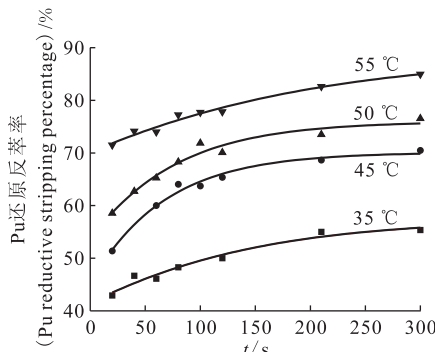
注(Notes): $c_{a,0}(\text{HNO}_3) = 0.20 \text{ mol/L}$, $c_{a,0}(\text{HAN}) = 0.10 \text{ mol/L}$, $c_{\text{org},0}(\text{HNO}_3) = 0.19 \text{ mol/L}$, $\rho_{\text{org},0}(\text{Pu(IV)}) = 1.02 \text{ g/L}$, $(1800 \pm 20) \text{ r/min}$, 相比(Phase ratio, O/A)4:1, 28℃

度为 0.30 mol/L 时(此时水相中硝酸根离子的总浓度同样为 0.80 mol/L), 反萃取 10.0 min 后钚的反萃率为 61.8%。在水相离子强度相同的条件下, 提高肼浓度有利于钚的还原反萃取, 说明尽管肼还原 Pu(IV) 的反应速率很慢, 但是依然能够将少量有机相中的 Pu(IV) 还原反萃取到水相。

综上所述, 硝酸肼在羟胺还原反萃取 Pu(IV) 的过程中, 除了起到“清扫”亚硝酸的作用以外, 还能够将少量 Pu(IV) 还原反萃取到水相, 但是另一方面, 当硝酸肼浓度较高时, 则表现出盐析效应, 抑制钚的还原反萃取。

2.4 温度的影响

在常温下, 羟胺还原 Pu(III) 的反应速率相对较慢。为了加快反应速率、提高钚的反萃率, Purex 流程中钚纯化循环反萃取工艺的运行温度通常控制在 50 °C。图 3 表明温度对羟胺还原反萃取钚的影响明显, 在相比(O/A)为 4 : 1 的条件下, 当温度由 35 °C 升高到 55 °C 时, 钚的反萃率由 55% 提高到 85%。虽然升高温度有利于提高钚的反萃率, 但是温度过高会加快 TBP 的分解, 不利于溶剂的稳定, 因此, 钚还原反萃取段的温度控制在 45~50 °C 是较为适宜的。



$c_{a,0}(\text{HNO}_3) = 0.20 \text{ mol/L}$, $c_{a,0}(\text{N}_2\text{H}_5^+) = 0.10 \text{ mol/L}$,
 $c_{a,0}(\text{HAN}) = 0.20 \text{ mol/L}$, $c_{org,0}(\text{HNO}_3) = 0.19 \text{ mol/L}$,
 $\rho_{org,0}(\text{Pu(IV)}) = 3.0 \text{ g/L}$, $(1800 \pm 20) \text{ r/min}$, 相比(Phase ratio, O/A)4 : 1, 50 °C

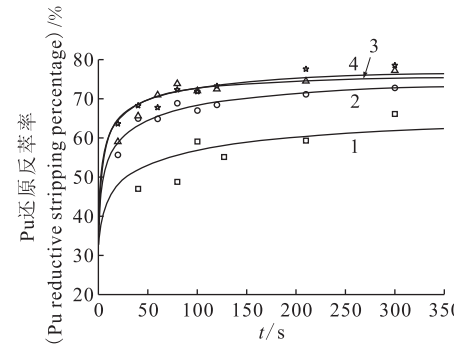
图 3 温度对钚还原反萃率的影响

Fig. 3 Influence of temperature on Pu reductive stripping percentage

2.5 50 °C 时羟胺还原反萃取钚的行为

钚还原反萃取工艺的操作温度通常控制在 50 °C 左右, 在实际工艺中, 钚的进料浓度通常在几克/升到十几克/升的范围内, 因此, 考察这个参数范围内羟胺还原反萃取钚的行为十分必要。

图 4 为有机相中 Pu(IV) 初始质量浓度为 6.0 g/L、温度为 50 °C 时, 水相 HAN 初始浓度对 Pu(IV) 还原反萃取的影响。图 4 表明, 当硝酸羟胺初始浓度达到 0.20 mol/L 后, 继续增大羟胺浓度, 对钚的还原反萃率无明显提高, 即当反应体系中羟胺的摩尔数(水相体积 $\times c_{a,0}(\text{HAN})$)与 Pu(IV) 的摩尔数(有机相体积 $\times \rho_{org,0}(\text{Pu(IV)}) \times (239 \text{ g Pu/mol})^{-1}$)之比大于 2 时, 提高羟胺浓度对提高钚的反萃取效果十分有限。原因是当水相中钚浓度较高时, 随着硝酸羟胺浓度的增加, 溶液中的离子强度升高, 盐析效应逐渐明显, 抵消了由于羟胺浓度增加提高的那部分还原反萃率。



$c_{a,0}(\text{HNO}_3) = 0.20 \text{ mol/L}$, $c_{a,0}(\text{N}_2\text{H}_5^+) = 0.20 \text{ mol/L}$,
 $c_{org,0}(\text{HNO}_3) = 0.19 \text{ mol/L}$, $\rho_{org,0}(\text{Pu(IV)}) = 6.0 \text{ g/L}$,
 $(1800 \pm 20) \text{ r/min}$, 相比(Phase ratio, O/A)4 : 1, 50 °C
 $c_{a,0}(\text{HAN}), \text{mol/L}: 1 \text{---} 0.10, 2 \text{---} 0.20, 3 \text{---} 0.40, 4 \text{---} 0.60$

图 4 羟胺初始浓度对钚还原反萃率的影响

Fig. 4 Influence of HAN initial concentration on Pu reductive stripping percentage

在初始水相中钚以 Pu(III) 的形态存在, 初始有机相为含 0.19 mol/L HNO₃ 的 30% TBP-煤油的条件下进行单级萃取实验, 实验结果列于表 2。表 2 表明, 在 50 °C 时硝酸氧化 Pu(III) 的反应速率加快, 且硝酸浓度的升高有利于 Pu(III) 的氧化, 反应生成的 Pu(IV) 被不断萃取到有机相, 使得有机相中的钚含量随硝酸浓度增大而有所升高。实验结果也表明, 当水相溶液中钚主要以 Pu(III) 存在时, 在盐析效应的作用下, Pu(III) 的分配比随离子强度的提高而升高, 导致钚在有机相中的含量上升。

图 5 为保持反应体系中羟胺的摩尔数与 Pu(IV) 的摩尔数之比为定值(水相体积 $\times c_{a,0}(\text{HAN})$)/(有机相体积 $\times \rho_{org,0}(\text{Pu(IV)}) \times (239 \text{ g Pu/mol})^{-1}$) =

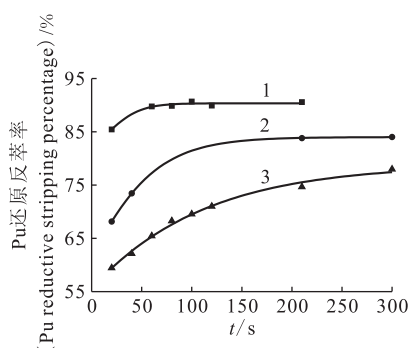
表2 还原反萃取过程中Pu(Ⅲ)的氧化和钚的萃取

Table 2 Oxidation of Pu(Ⅲ) and extraction of Pu during the reductive stripping

$c_{a,0}/(\text{mol} \cdot \text{L}^{-1})$	$\rho_{a,0}(\text{Pu(III)})/(\text{g} \cdot \text{L}^{-1})$	$c_{\text{org},0}(\text{HNO}_3)/(\text{mol} \cdot \text{L}^{-1})$	$\rho_{\text{org},0}(\text{Pu})/(\text{g} \cdot \text{L}^{-1})$	混合 10 min 后(Mixed 10 min)			
HNO_3	NaNO_3	HAN	N_2H_4	$\rho_{\text{org}}(\text{Pu})/(\text{g} \cdot \text{L}^{-1})$			
0.20	0	0.10	0.20	1.98	0.19	0	0.063
0.50	0	0.10	0.20	1.98	0.19	0	0.078
0.80	0	0.10	0.20	1.98	0.19	0	0.085
0.20	0.30	0.10	0.20	1.98	0.19	0	0.078
0.20	0.60	0.10	0.20	1.98	0.19	0	0.100

注(Note): 相比(Phase ratio) 4:1, 50 °C, (1800±20) r/min

$n(\text{HAN})/n(\text{Pu(IV)})=2$ 的条件下, 改变相比时钚的反萃率的变化。 $n(\text{HAN})/n(\text{Pu(IV)})$ 的值可以反映出羟胺还原 Pu(IV) 的反应推动力。图 5 表明, 在 $n(\text{HAN})/n(\text{Pu(IV)})$ 为定值的条件下, 减小相比能够较明显的提高钚的反萃率。对于钚还原反萃取工艺来说, 当保持进料中羟胺与钚的摩尔比固定时, 增大还原剂流量能够提高钚的收率, 但同时会降低钚的浓缩倍数。



$c_{a,0}(\text{HAN})=0.10 \text{ mol/L}$, $c_{a,0}(\text{HNO}_3)=0.20 \text{ mol/L}$,
 $c_{a,0}(\text{N}_2\text{H}_4)=0.20 \text{ mol/L}$, $c_{\text{org},0}(\text{HNO}_3)=0.19 \text{ mol/L}$,
 $(1800\pm20) \text{ r/min}$, 50°C
 $\rho_{\text{org},0}(\text{Pu(IV)})$, g/L: 1—6.0, 相比(Phase ratio, O/A)2:1;
 2—4.0, 相比(Phase ratio, O/A)3:1;
 3—3.0, 相比(Phase ratio, O/A)4:1

图5 相比的影响

Fig. 5 Influence of phase ratio
on Pu reductive stripping percentage

3 结论

通过硝酸羟胺还原反萃取钚的单级实验表明, 降低硝酸初始浓度有利于提高钚的还原反萃率;

硝酸肼在羟胺还原反萃取 Pu(IV) 的过程中, 除了起到“清扫”亚硝酸的作用以外, 还能够将少量 Pu(IV) 还原反萃取到水相, 但是当硝酸肼浓度较高时, 硝酸肼则表现出盐析效应, 抑制钚的还原反萃取; 在 50 °C 时, $n(\text{HAN})/n(\text{Pu})=2\sim3$ 较为适宜; 对于钚还原反萃取工艺来说, 当保持进料中羟胺与钚的摩尔比固定时, 增大还原剂流量能够提高钚的收率, 但同时会降低钚的浓缩倍数; 温度升高时, 硝酸氧化 Pu(III) 的反应速率加快, 使得钚在有机相中的含量有所升高。当溶液中离子强度较高时, 在盐析效应的作用下, Pu(III) 的分配比随离子强度的提高而升高, 导致钚在有机相中的含量上升。

参考文献:

- [1] 姜圣阶,任凤仪.核燃料后处理工学[M].北京:原子能出版社,1995:99-102.
- [2] 任凤仪,周镇兴.国外核燃料后处理[M].北京:原子能出版社,2006:148-155.
- [3] 于恩江,黄怀安,周兴权,等.硝酸羟胺在动力堆乏燃料后处理流程钚线第三循环中的应用[J].原子能科学技术,1993,27:451-457.
- [4] Takahiro I, Nobuharu S, Makoto I, et al. Active Test of Purification Facility at Rokkasho Reprocessing Plant[C]// Proceedings of Global 2009, Paris, France, Paper 9214: 206-213.
- [5] Barney G S. A Kinetic Study of the Reaction of Plutonium With Hydroxylamine [J]. J Inorg Nucl Chem, 1976, 38: 1 677-1 681.
- [6] Yarbro S L, Schreiber S B. Reducing Pu(IV) to Pu(III) With Hydroxylamine in Nitric Acid Solution[J]. J Radioanal Nucl Chem, 1998, 235 (1-2): 21-24.